

بررسی اثر عملیات حرارتی بعد از کربندهی سطحی بر رفتار خستگی فولاد CE2

حسن شریفی^۱، مهدی امیدی^۲، حسن علی طبیبان^۳

۱- مریبی، دانشگاه آزاد اسلامی واحد نجف آباد

۲- کارشناسی ارشد، دانشگاه آزاد اسلامی واحد نجف آباد

Sharifi_h@iust.ac.ir

چکیده

نوع عملیات حرارتی پس از انجام عملیات کربندهی، می تواند تأثیر بهسازی بر رفتار خستگی فولاد CE2 داشته باشد. در این پژوهش، خواص مکانیکی فولاد CE2 با انجام دو فرایند عملیات حرارتی کوئنچ مستقیم و کوئنچ یک مرحله‌ای پس از کربندهی بررسی شد. نتایج نشان می‌دهد که با استفاده از عملیات حرارتی کوئنچ یک مرحله‌ای، خصوصیات مکانیکی فولاد مذکور از قبیل سختی واستحکام کششی نسبت به کوئنچ مستقیم افزایش یافت. سطح شکست نمونه‌های خستگی با استفاده از میکروسکوپ الکترونی مورد مطالعه قرار گرفت. مطالعه سطح شکست نمونه‌های خسته شده نشان داد که در نمونه‌های حاصل از عملیات حرارتی کوئنچ مستقیم، گسیختگی به صورت ترد بیش از ۵۰ درصد مقطع شکست را دربر گرفته است در صورتی که در نمونه‌های حاصل از عملیات حرارتی کوئنچ یک مرحله‌ای گسیختگی به صورت ترد در کمتر از ۲۰ درصد سطح مقطع شکست را دربر دارد.

واژه‌های کلیدی:

خستگی، کربندهی سطحی، عملیات حرارتی

می‌شود، لذا کنترل کردن این مقوله توسط پارامترهای بهینه‌سازی بسیار حائز اهمیت است [۱]. عملیات کربوراسیون سطحی در محدوده حرارتی ۹۰۰ تا ۱۰۴۰ درجه سانتیگراد به در حالت جامد انجام می‌شود. نحوه عملیات به این صورت است که آلیاژ در محیط غنی از کربن (مایع، جامد، گاز) تا دمای معینی گرم شده و مدتی در این دما نگه داشته می‌شود. تحت این شرایط کربن اتمی به داخل آلیاژ نفوذ می‌کند و به این ترتیب لایه پرکربن به دست می‌آید [۲]. برای رسیدن به سختی مناسب، نمونه وارد محیط خنک کننده مناسب می‌گردد.

۱- مقدمه

هدف اصلی از کربندهی سطحی به دست آوردن یک سطح سخت و مقاوم در برابر سایش می‌باشد که با اشباع کردن سطح قطعه از کربن و سپس سرد کردن سریع حاصل می‌شود. تحقیقات نشان می‌دهد یکی از تأثیرات بسیار مهم عملیات کربورایزینگ تأثیر بر حد خستگی فولاد می‌باشد. از آنجائی که بیش از ۹۰ درصد از کار افتادگی‌ها و شکست قطعات و یا سازه‌ها حین کار مربوط به خستگی و شکست ناشی از آن

دماهی معین تجاوز نمی‌کند. انتخاب مقادیر کربن سطح مورد نظر بستگی به ترکیب شیمیایی آلیاژ دارد، زیرا به طور کلی افزایش مقدار کربن دماهی یوتکتوئید و دماهی M_s را در فولادهای هیپویوتکتوئید کاهش می‌دهد.^[۳]

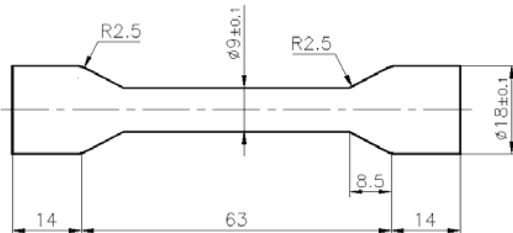
استحکام خستگی به شدت تحت تأثیر دو عامل ریزاساختار سطح و تنش‌های پس ماند سطح است، از طرف دیگر خود این دو عامل نیز تحت تأثیر مقدار کربن سطح و روش سردکردن هستند.^[۴]

افزایش عمق کربن دهی به افزایش عمق اکسایش درونی و افزایش مقدار آستنیت و کاربیدهای آزاد باقی مانده منجر می‌شود که هر یک از این عوامل بالا اثر معکوسی بر توزیع تنش پس ماند دارند. زیاد شدن عمق کربن دهی از یک حدّ معین، مقاومت در برابر خردشده‌گی سطح را بهبود می‌بخشد ولی این امر افزایش مقاومت در برابر خستگی خمشی را تضمین نمی‌کند. نوع کاربیدهای شبکه‌ای باعث افزایش مقدار آستنیت باقیمانده در ریزاساختار می‌شود و حد خستگی خمشی را کاهش می‌دهد. در شرایطی که کاربیدهای شبکه‌ای به کاربیدهای کروی شکل تبدیل شود، با توجه به عملیات حرارتی سختی پذیری در پوسته شدیداً اکسید می‌شوند. در این شرایط سختی پذیری در پوسته شدیداً کاهش می‌یابد و به جای ساختار مارتزیت، پرلیت در سطح شکل می‌گیرد و آستنیت باقی مانده در ساختار افزایش می‌یابد. با انجام اکسیداسیون و کاهش عناصر آلیاژی سطح دماهی M_s بالا رفته و در یک منطقه نازکی از سطح با کاهش تنش‌های پس ماند فشاری روپر و می‌شویم، در نهایت افزایش مقدار آستنیت باقی مانده در سطح و کاهش تنش‌های پس ماند فشاری و تولیدات استحاله غیر مارتزیتی، استحکام خستگی کاهش می‌یابد.^[۵]

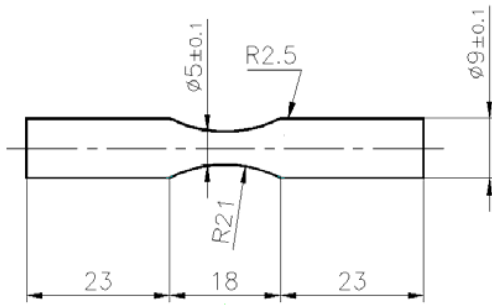
از معایب این فرایند می‌توان به اعوجاج قطعه و ایجاد آستنیت باقی مانده بعد از سرد کردن نمونه و ایجاد ترک اشاره کرد. اگر قطعه کربن‌دهی شده حساس به ترک خوردگی و حاوی زوایای تیز باشد، بعد از اتمام عملیات کربن‌دهی، ابتدا قطعه را در هوا سرد می‌کنند (عملیات حرارتی نرماله) بنابراین اندازه دانه‌های رشد کرده در عملیات کربن‌دهی، ریزتر و یکنواخت‌تر می‌شوند. پس از آن مطابق با کربن سطح، دماهی آستنیت را انتخاب کرده و دوباره آن را گرم کرده و در محیط مناسب سرد می‌کنیم.^[۲]

گرچه هر کدام از روش‌های کربن‌دهی دارای مشخصات ویژه‌ای می‌باشد، بنابراین نتایج حاصل از آن روش ممکن است با نتایج حاصل از روش‌های دیگر متفاوت باشد، اما بدون توجه به روش مورد استفاده، کربن‌دهی همیشه توسط یک اتمسفر گازی شامل فاز منواکسیدکربن (CO) انجام می‌گیرد. میزان کربن جذب شده در آستنیت عمدهاً توسط سرعت نفوذ کربن از سطح فولاد به داخل آستنیت و دیگری واکنش $C + CO(g) \rightarrow CO_2(g)$ کنترل می‌شود. در این رابطه C کربن اتمی است که توسط آستنیت جذب سطح می‌شود. در حالت تعادل هر نسبتی از CO_2 به CO دارای یک پتانسیل کربن مشخصی بوده، که در نتیجه کربن آستنیت را در حدّ ثابت و مشخصی حفظ می‌کند.^[۳]

عوامل مؤثر بر کربن‌دهی سطحی شامل دماهی کربن‌دهی، زمان کربن‌دهی و فشار جزئی CO/CO_2 محیط می‌باشد. به طور تقریب برای هر ۲۰ درجه سانتیگراد افزایش دما، ضربی نفوذ تقریباً ۲ برابر می‌شود. تأثیر مستقیم زمان کربن‌دهی بر عمق نفوذ کربن است. زمان معمولی برای کربن‌دهی سطحی چند ساعت می‌باشد و خیلی به ندرت از این مدت تجاوز می‌کند. هر قدر زمان کربن‌دهی سطحی طولانی باشد، غلظت کربن در قشر سطحی یک فولاد کربنی از حد انحلال کربن در آستنیت در آن



شکل (۲): ابعاد نمونه های کشش بر حسب میلیمتر مطابق با استاندارد B – ASTM A370



شکل (۱): ابعاد نمونه های خستگی به میلیمتر مطابق با استاندارد E – 466

در فرایند دوم عملیات حرارتی، نمونه ها در دمای ۹۲۰ درجه سانتیگراد و زمان ۹۰ دقیقه کربوره و در هوای محیط سرد شدند. مجدداً نمونه ها تا دمای ۷۸۰ درجه سانتیگراد گرم شده و به مدت ۳۰ دقیقه نگهداری و پس از آن در محیط روغن سرد شدند. عملیات حرارتی تمپر در دمای ۲۰۰ درجه سانتیگراد و زمان ۶۰ دقیقه انجام شد. به این فرایند از این پس کوئنچ یک مرحله ای اطلاق می گردد. نمونه های آزمایش کشش مطابق استاندارد B – ASTM A370 تهیه شد، که شمایی از اندازه های آن در شکل (۲) قابل مشاهده می باشد.

آزمون کشش با سرعت ۰/۲ میلیمتر بر دقیقه و در دمای محیط در مورد نمونه های عملیات حرارتی شده و عملیات حرارتی نشده انجام شد. سطح نمونه های متالوگرافی توسط سنباده های شماره ۱۲۰ تا ۲۵۰۰ و پس از آن به وسیله پودر آلومینی پرداخت گردید.

سطح آماده شده توسط محلول اچ نایتال ۲ درصد حکاکی شدند. از میکروسکوپ نوری جهت تهیه تصاویر نمونه های مختلف عملیات حرارتی شده و عملیات حرارتی با بزرگنمایی مختلف استفاده شد.

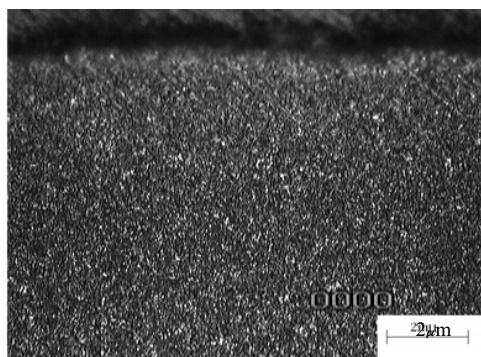
۲- روش تحقیق

نمونه های مورد آزمایش در این تحقیق مطابق با استاندارد DIN 17131 تهیه شد و ترکیب شیمیایی آن به وسیله دستگاه کوانتمتر تأیید و در جدول (۱) ارائه گردید.

ابتدا جهت سهولت در امر ماشین کاری، نمونه را تحت عملیات حرارتی تمپر زیر دمای ۷۰۰ درجه سانتیگراد به مدت ۱ ساعت قرار داده، سپس عملیات ماشین کاری با بیشترین دقّت و کمترین سرعت در جهت اعمال کمترین کار سختی در سطح نمونه آزمایش انجام پذیرفت، شمایی از اندازه های آن در شکل (۱) قابل مشاهده می باشد به منظور دستیابی به کیفیت مناسب سطح نمونه های خستگی، سطح نمونه های تراشیده شده به وسیله کاغذ سنباده از شماره ۶۰۰ تا ۲۵۰۰، مطابق با استاندارد ISO/373 پرداخت شد. در فرایند عملیات حرارتی برای نمونه های فولادی اتخاذ گردید. فرایند اول شامل کربوره کردن در دمای ۹۲۰ درجه سانتیگراد و زمان ۹۰ دقیقه و سپس کاهش دما تا ۸۷۰ درجه سانتیگراد و نگهداری به مدت ۱۵ دقیقه می باشد. پس از آن نمونه ها از دمای ۷۸۰ درجه سانتیگراد تا ۲۳ درجه سانتیگراد در محیط روغن سرد شد. عملیات حرارتی تمپر در دمای ۲۰۰ درجه سانتیگراد و زمان ۶۰ دقیقه انجام شد. این فرایند از این پس کوئنچ مستقیم اطلاق می گردد.

جدول (۱): ترکیب شیمیایی فولاد مورد مطالعه.

ترکیب شیمیایی						
عنصر	%C	%Si	%Mn	%P	%S	%Cr
cE ₂	۰/۱۷۶	۰/۳۵۳	۱/۱۰۹	۰/۰۱۴	۰/۰۰۹	۱/۰۱۳



شکل (۵): ریزساختار قسمت سخت شده نمونه حاصل از عملیات حرارتی کوئنچ مستقیم.

فریت جهت‌گیری خاصی ندارند و به صورت نامنظم زمینه را در بر گرفته است. از آنجائیکه فولاد مذکور دارای مقادیر ۱ تا $1/3$ درصد منگنز است، لذا حضور ساختار پرلیتی در زمینه فریت توجیه می‌یابد.

شکل شماره (۵) بیانگر حضور ساختارهای مارتزیتی در سطح نمونه‌های حاصل از عملیات حرارتی کوئنچ مستقیم می‌باشد.

تصویر شماره (۶) ریزساختار مناطق سخت شده سطح و عمق نمونه‌های کربوره شده را نشان می‌دهد که با افزایش فاصله از سطح فاز آستنیت باقیمانده افزایش می‌یابد. حضور آستنیت باقیمانده به صورت مناطق سفید رنگ در شکل شماره (۷) با وضوح بیشتری قابل مشاهده است. شکل (۸) ریزساختار سطح لایه سخت شده حاوی ساختارهای مارتزیتی حاصل از عملیات حرارتی کوئنچ یک مرحله‌ای را نشان می‌دهد که در مقایسه با نمونه‌های حاصل از عملیات حرارتی کوئنچ مستقیم شکل (۵) ملاحظه می‌گردد.



شکل (۳): ریزساختار فولاد CE2 قبل از عملیات حرارتی.



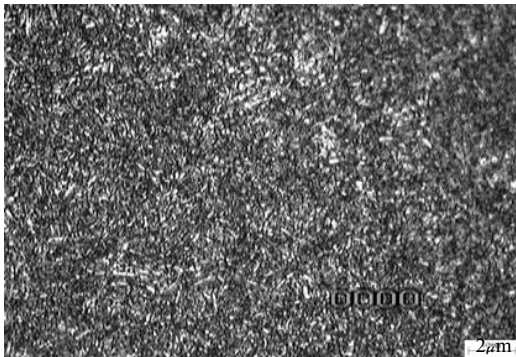
شکل (۴): ریزساختار فولاد CE2 قبل از عملیات حرارتی.

سطح شکست نمونه‌های آزمایش توسط میکروسکوپ الکترونی روبشی برای تعیین محل اشعه ترک در نمونه‌های خسته شده مورد بررسی قرار گرفت. آزمایش سختی‌سنگی در مقیاس ماکرو و به روش برینل با نیروی اعمالی 62.5 کیلوگرم انجام شد.

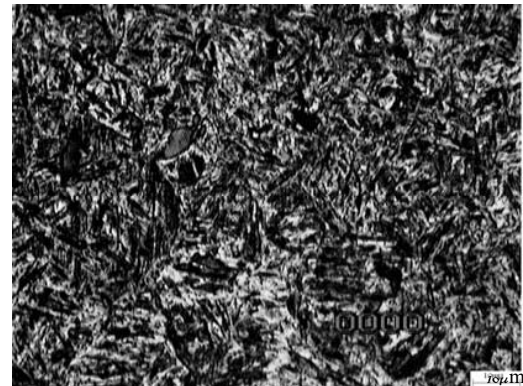
نمونه‌های آزمون خستگی طبق استاندارد ASTM E – 466 تهیّه شد، که شما بی از اندازه‌های آن در شکل (۲) قابل مشاهده می‌باشد. آزمون خستگی از نوع خمشی دورانی با تعداد 2850 دور بر دقیقه در دمای محیط در مورد نمونه‌های عملیات حرارتی شده و عملیات حرارتی نشده انجام شد.

۳- نتایج و مباحث

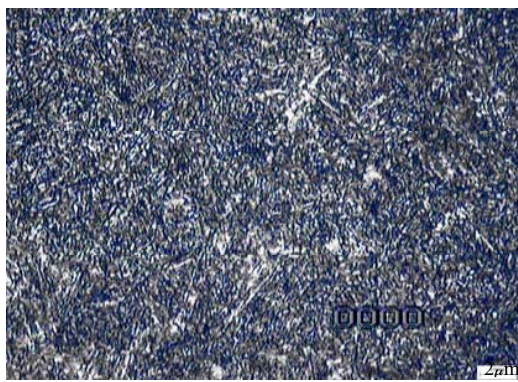
در شکل‌های (۳) و (۴) ریزساختار نمونه عملیات حرارتی نشده ارائه شده است. فاز روشن فریت و ساختار تیره رنگ پرلیت را نشان می‌دهد. همچنین ملاحظه می‌شود که دانه‌های



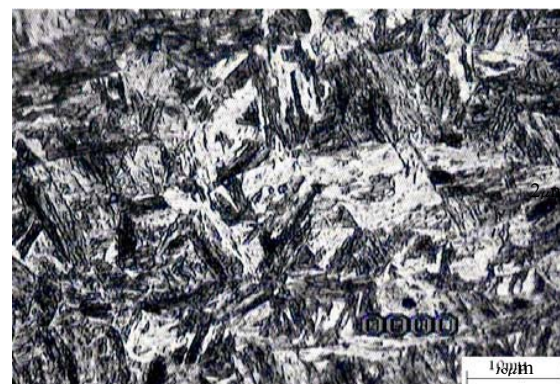
شکل (۹): ریزساختار قسمت سطح لایه سخت شده حاصل از عملیات حرارتی کوئنچ یک مرحله‌ای.



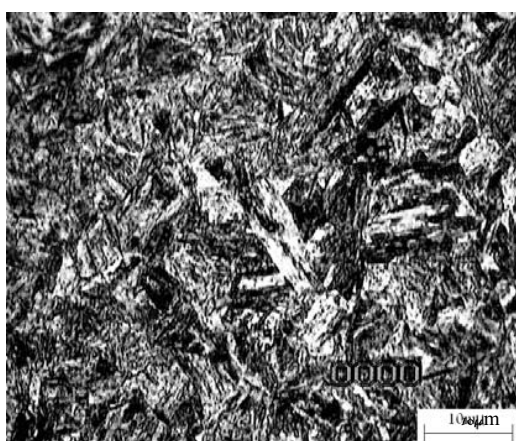
شکل (۶): ریزساختار فصل مشترک محدوده سخت شده و لایه‌های زیرین آن حاصل از عملیات حرارتی کوئنچ مستقیم.



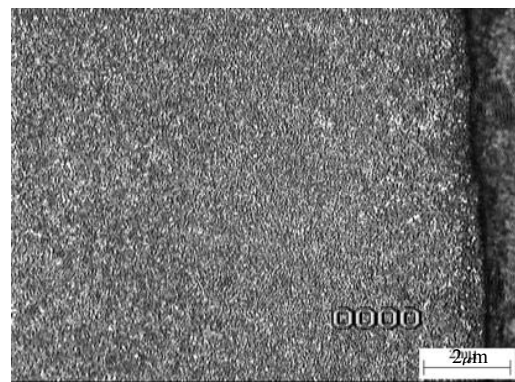
شکل (۱۰): ریزساختار فصل مشترک لایه سخت شده و لایه‌های زیرین آن حاصل از عملیات حرارتی کوئنچ یک مرحله‌ای.



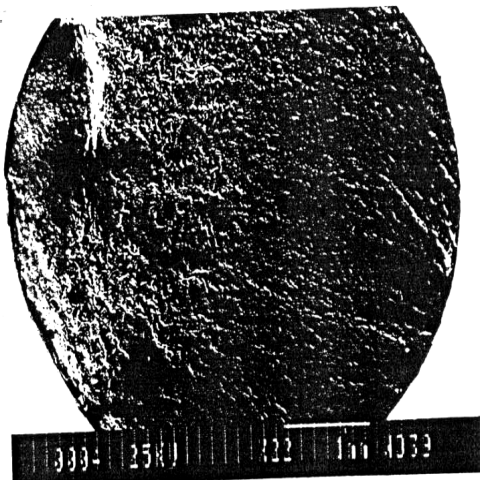
شکل (۷): ریزساختار مغز نمونه سخت شده حاصل از عملیات حرارتی کوئنچ مستقیم.



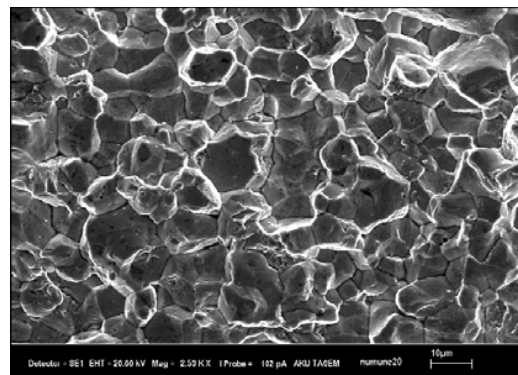
شکل (۱۱): ریزساختار مغز نمونه سخت شده حاصل از عملیات حرارتی کوئنچ یک مرحله‌ای.



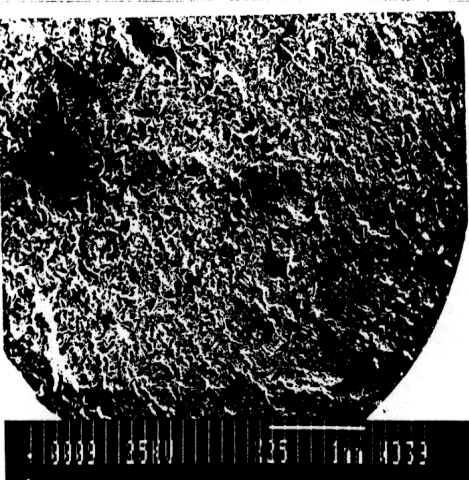
شکل (۸): ریزساختار قسمت سطح لایه سخت شده حاصل از عملیات حرارتی کوئنچ یک مرحله‌ای.



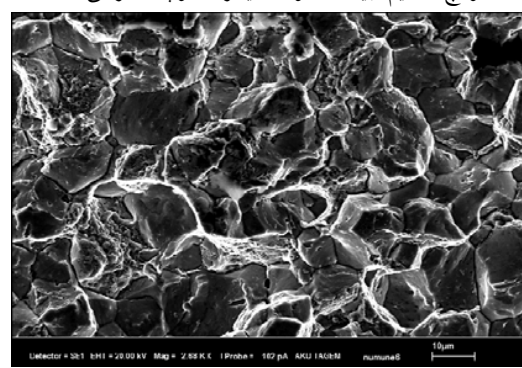
شکل (۱۴): مقطع شکست نمونه عملیات حرارتی کوئنچ مستقیم تهیه شده توسط میکروسکوپ الکترونی.



شکل (۱۲): مقطع شکست نمونه خستگی حاصل از عملیات حرارتی کوئنچ مستقیم تهیه شده توسط میکروسکوپ الکترونی.



شکل (۱۵): مقطع شکست نمونه عملیات حرارتی شده کوئنچ یک مرحله‌ای توسط میکروسکوپ الکترونی.

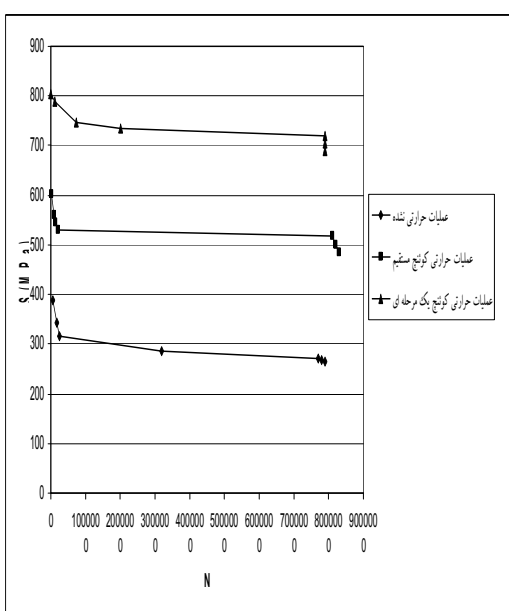


شکل (۱۳): مقطع شکست نمونه خستگی حاصل از عملیات حرارتی کوئنچ یک مرحله‌ای تهیه شده توسط میکروسکوپ الکترونی.

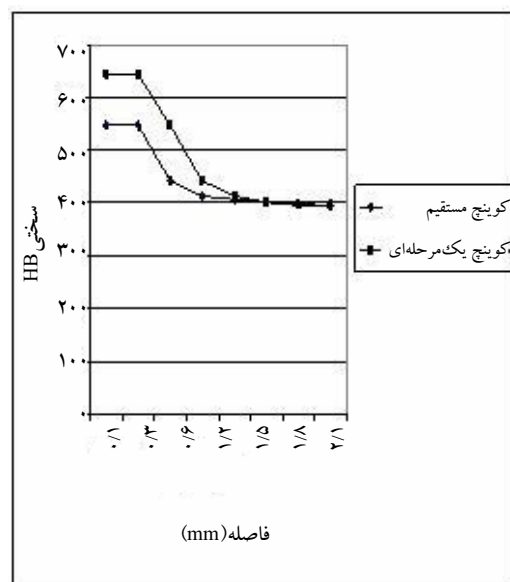
بین دانه‌ای در پدیده‌های خستگی می‌شود در حالیکه عملیات حرارتی کوئنچ یک مرحله‌ای باعث ایجاد سطح مقطع شکست نرم در نمونه‌های خسته شده می‌شود. توپوگرافی شکست در شکل‌های (۱۴) و (۱۵) نیز بیانگر شکست نرم در نمونه‌های عملیات حرارتی شده یه روش کوئنچ یک مرحله‌ای و شکست ترد در نمونه‌های عملیات حرارتی شده یه روش کوئنچ مستقیم می‌باشد.

که نمونه‌های حاصل از عملیات حرارتی کوئنچ یک مرحله‌ای حاوی مارتنتیت ریزتر می‌باشد، بنابراین با افزایش سختی، در این نمونه‌ها روبرو هستیم. با توجه به شکل (۹) با بزرگنمایی ۱۰۰۰ برابر بیانگر مارتنتیت بسیار یکنواخت‌تر نسبت به ساختار سطح نمونه حاصل از عملیات حرارتی کوئنچ مستقیم است. تصویر شماره (۱۰) در مقایسه با شکل (۶) حضور مارتنتیت ریزتر و کاهش آستنیت باقیمانده را در لایه‌های زیرین سطح کربوره شده نشان می‌دهد. شکل (۱۱) در مقایسه با شکل (۷) نیز بیانگر همگونی در ریزساختار عمق نمونه‌های عملیات حرارتی شده می‌باشد.

از مقایسه تصاویر شماره (۱۲) و (۱۳) می‌توان به این نتیجه رسید که عملیات حرارتی کوئنچ مستقیم موجب ایجاد شکست



شکل (۱۷): نمودارهای S-N در حالت‌های مختلف عملیات حرارتی.



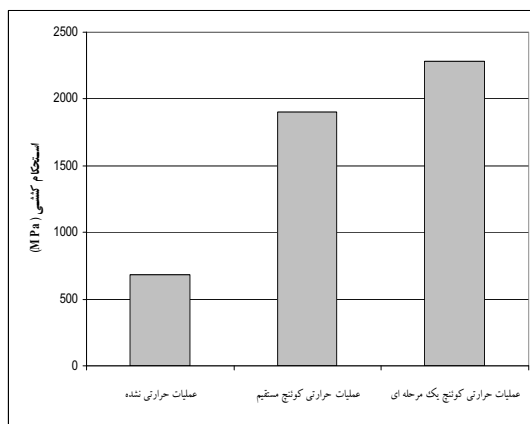
شکل (۱۶): نمودار تغییرات سختی با افزایش فاصله از سطح در نمونه‌های بدست آمده از عملیات حرارتی.

کاهش استحکام خستگی فولاد کربوره شده می‌شود. با انجام عملیات کربورایزینگ بروی فولاد مذکور، حد خستگی افزایش می‌یابد، به عبارتی همان‌گونه که در شکل (۱۸) مشخص است، با اعمال عملیات حرارتی کوئنچ مستقیم بروی نمونه کربوره شده پس از کربن‌دهی، حد خستگی فولاد حدود ۱۵ درصد نسبت به نمونه‌های عملیات حرارتی نشده افزایش یافته است.

با انجام عملیات حرارتی کوئنچ یک مرحله‌ای استحکام خستگی حدود ۳۰ درصد نسبت به نمونه‌های عملیات حرارتی نشده، افزایش یافته است. شکل (۱۹) استحکام کششی نمونه‌های مختلف را با یکدیگر مقایسه می‌کند. نمونه‌های عملیات حرارتی نشده، حاوی فاز پرلیت در زمینه فریت دارای کمترین استحکام کششی می‌باشد. علت عدم اختلاف در استحکام کششی نمونه‌های عملیات حرارتی شده حضور آستنیت باقیمانده بیشتر در نمونه‌های حاصل از عملیات حرارتی کوئنچ مستقیم می‌باشد.

با توجه به نمودارهای شکل (۱۶) می‌توان نتیجه گرفت که تغییر سختی از عمق به سطح، مربوط به گونه‌های متفاوت ساختارهای مارتزیتی و پایداری فازهای تعادلی در عمق نمونه‌ها می‌باشد. میزان سختی یکسان در عمق نمونه‌ها به علت همگونی فازهای تعادلی می‌باشد. تفاوت سختی سطح در بین نمونه‌های عملیات حرارتی شده مربوط به توزیع متفاوت ساختارهای مارتزیتی ناشی از نوع عملیات حرارتی و حضور فاز آستنیت می‌باشد، اما سختی اندک نمونه‌های عملیات حرارتی نشده مربوط به حضور فازهای تعادلی فریت و پرلیت می‌باشد.

با توجه شکل (۱۷) مشاهده می‌شود که در تنش‌های محدوده کم، فولاد به سوی شکست خستگی سیر نمی‌کند و حداقل تنش به کار گرفته شده در حین شکست، مطابق با حد خستگی تعریف شده نیست. همان‌گونه که ملاحظه می‌شود در نمونه‌های فولادی کربوره شده که به روش دوم عملیات حرارتی شده‌اند، بیشترین حد خستگی دیده می‌شود. مطابق با آنچه گفته شد، افزایش مقدار آستنیت باقی مانده در ساختار، موجب



شکل (۱۹): مقایسه استحکام کششی نمونه‌ها در حالت‌های مختلف عملیات حرارتی.

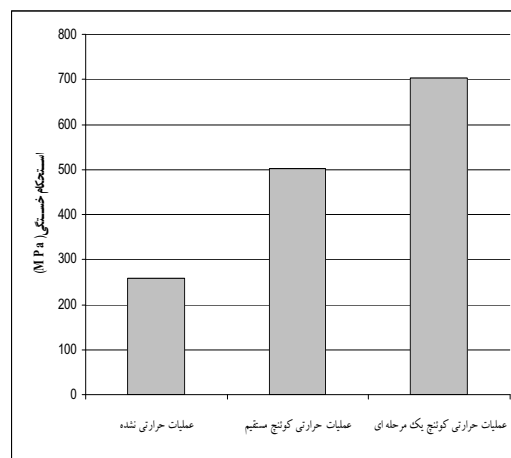
۶- انجام عملیات حرارتی کوئنچ یک مرحله‌ای پس از کربن‌دهی، موجب 30°C درصد افزایش استحکام خستگی فولاد کربوره CE2 نسبت به فولاد عملیات حرارتی نشده گشت، در صورتی که انجام عملیات حرارتی کوئنچ مستقیم، موجب افزایش حدود ۱۵ درصد استحکام خستگی فولاد کربوره نسبت به فولاد عملیات حرارتی نشده می‌شود.

۷- انجام عملیات حرارتی کوئنچ یک مرحله‌ای، موجب حذف ترک‌ها و عیوب سطحی ناشی از سریع سرد شدن توسط سیکل کوئنچ مستقیم می‌گردد و نهایتاً از تأییدگی و تغییر ابعاد قطعات حین آب‌دهی جلوگیری می‌کند.

۸- اشعه و محل ایجاد ترک خستگی سطح عموماً از بین دانه‌ها شروع شده و سپس با پیشروی به خارج از دانه رشد کرده و نهایتاً با ایجاد جاهای خالی پیوسته، شکست نهایی قطعه را در اثر خستگی ایجاد کرده است.

۹- بررسی سطوح نهایی شکست، در نمونه‌های عملیات حرارتی کوئنچ یک مرحله‌ای نشان می‌دهد که شکست عمدتاً از نوع شکست نرم بوده است.

۱۰- بررسی سطوح نهایی شکست، در نمونه‌های عملیات حرارتی کوئنچ مستقیم نشان می‌دهد که شکست عمدتاً از نوع شکست ترد بوده است.



شکل (۱۸): مقایسه استحکام خستگی نمونه‌ها در حالت‌های مختلف عملیات حرارتی.

۴- نتیجه‌گیری

- ۱- با انجام عملیات حرارتی کوئنچ یک مرحله‌ای، ساختار دانه اولیه فولاد یکنواخت‌تر و ریزتر گشته و بسته‌های مارنتزیتی کوچک‌تر به همراه آستانتیت باقی مانده کمتر حاصل می‌گردد.
- ۲- با انجام عملیات کوئنچ یک مرحله‌ای بروی فولاد کربوره گازی CE2، سختی بیشتری نسبت به روش کوئنچ مستقیم حاصل می‌شود.

- ۳- با انجام عملیات حرارتی کوئنچ یک مرحله‌ای، ساختار دانه اولیه فولاد یکنواخت‌تر و ریزتر گشته و بسته‌های مارنتزیتی کوچک‌تر به همراه آستانتیت باقی مانده کمتر حاصل می‌گردد.
- ۴- با انجام عملیات کوئنچ یک مرحله‌ای بروی فولاد کربوره گازی CE2، سختی بیشتری نسبت به روش کوئنچ مستقیم حاصل می‌شود.

- ۵- انجام عملیات حرارتی کوئنچ یک مرحله‌ای موجب افزایش استحکام کششی قابل ملاحظه نسبت به عملیات حرارتی کوئنچ مستقیم در فولاد کربوره شده، می‌شود.

۵- مراجع

- [1] Osman Asi, Ahmet Çetin Can, James Pineault an Mohammed Belassel,"The relationship between case depth and bending fatigue strength of gas carburized SAE 8620 steel",Surface & Coating Technology, No. 201, pp. 5979-5987, 2007.
- [2] Q.Y. Wang, C. Bathias, N. Kawagoishi and Q. Chen,"Effect of inclusion on subsurface crack initiation and gigacycle fatigue strength", International Journal of Fatigue, No.24, pp.1269-1274, 2002.
- [3] Masayuki Akita and Keiro Tokaji,"Effect of carburizing on notch fatigue behaviour in AISI 316 austenitic stainless steel", Surface & Coating Technology, No. 200, pp.6073-6078, 2006.
- [4] Ruchuan Yin,"Carburization of 310 stainless steel exposed at 800-1100 °C in 2%CH₄/H₂ gas mixture ",Corrosion Science, No.47, pp.1896-1910, 2005.
- [5] E.Howard, B.Kubbs and J.Boyer," Heat treater 's guide" ,standard practices and procedures for steel, England, july 1981.